

УДК 537.226.33

**ВЛИЯНИЕ ГИДРОСТАТИЧЕСКОГО ДАВЛЕНИЯ  
НА ФАЗОВЫЕ ПЕРЕХОДЫ,  
ДИЭЛЕКТРИЧЕСКИЕ СВОЙСТВА  
И ПРОВОДИМОСТЬ В  $\beta$ -TlInS<sub>2</sub>**

*К. Р. Аллахвердиев, А. И. Баранов, Т. Г. Мамедов,  
В. А. Сандрер, Я. Н. Шарифов*

Изучено влияние гидростатического давления до 0.8 ГПа на диэлектрические свойства и проводимость кристаллов  $\beta$ -TlInS<sub>2</sub>. Показано, что в исследуемых кристаллах кроме известных несоразмерного и сегнетоэлектрического фазовых переходов наблюдается еще ряд структурных фазовых переходов. Построена фазовая  $P-T$ -диаграмма  $\beta$ -TlInS<sub>2</sub>.

В настоящее время  $\beta$ -TlInS<sub>2</sub> (далее TlInS<sub>2</sub>) является одним из немногих полупроводниковых соединений, имеющих последовательные несоразмерные и сегнетоэлектрические фазовые переходы [1-4]. По данным нейтроннографических исследований [2], несоразмерная фаза, существующая в интервале температур  $T=202$  К  $< T < T_c=216$  К, характеризуется волновым вектором  $k_c=(\delta, \delta, 0.25)$ , где  $\delta=0.012 \pm 0.003$ . Согласно данным исследований [5], симметрии паразелектрической и сегнетоэлектрической фаз TlInS<sub>2</sub> — моноклинные  $2/m$  и 2 соответственно. Однако характерной для такой симметрии анизотропии диэлектрических свойств в TlInS<sub>2</sub> не наблюдается: характеристическая поверхность тензора диэлектрической проницаемости является одноосным эллипсоидом, главная ось которого совпадает с псевдотетрагональной осью кристалла [3]. В [6] было обнаружено аномальное поведение края фундаментального поглощения TlInS<sub>2</sub> при гидростатическом давлении 0.6 ГПа и  $T=300$  К, указывающее на наличие фазового перехода в этом кристалле.

В настоящей работе исследовалось влияние гидростатического давления  $p \leqslant 0.8$  ГПа на диэлектрические свойства, проводимость и фазовые переходы в кристалле TlInS<sub>2</sub>.

### 1. Методика измерений и образцы

Кристаллы TlInS<sub>2</sub> были выращены в эвакуированных кварцевых ампулах модифицированным методом Бриджмена. Для измерений использовались образцы размерами  $5 \times 2 \times 1.5$  мм. Так как анизотропии диэлектрических свойств в плоскости (001) не было, то направление в этой плоскости специально не выбиралось и электроды наносились на поверхности, имеющие большую площадь в направлении, перпендикулярном слоям. В качестве электродов использовалось серебро, напыленное в вакууме. Измерения проводились на частоте 1 кГц мостом переменного тока «Ando Electric» TR-10C в интервале температур 100–300 К. Температура стабилизировалась с точностью  $\pm 0.02$  К. Измерения производились в автономной камере высокого давления. Методика таких измерений подробно описана в [7]. В качестве среды, передающей давление, использовалась смесь изопентана и трансформаторного масла.

## 2. Экспериментальные результаты

**Диэлектрические свойства.** На рис. 1 приведены некоторые наиболее характерные зависимости диэлектрической проницаемости  $\epsilon_a(T)$ , измеренные для одного из образцов при различных давлениях.<sup>1</sup> Кроме аномалий, температуры которых при атмосферном давлении соответствуют указанным в [3] температурам несоразмерного  $T_{I-II}=214$  К и сегнетоэлектрического  $T_{III-IV}=202$  К фазовых переходов, на зависи-

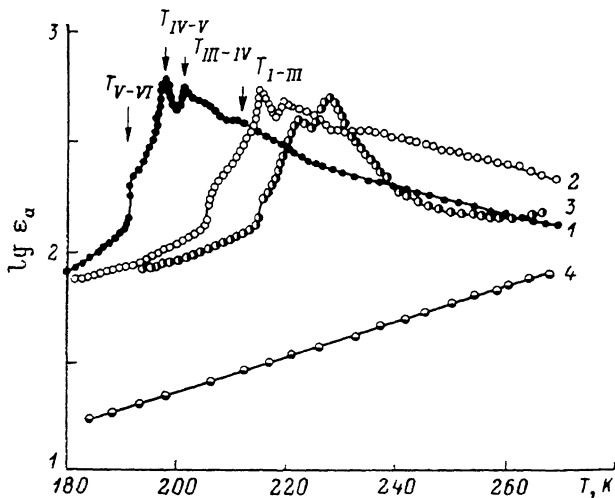


Рис. 1. Температурные квазизобарические зависимости диэлектрической проницаемости  $\epsilon_a$   $TlInS_2$  при различных начальных значениях давления.

$p$ , ГПа: 1 — 0, 2 — 0.5, 3 — 0.69, 4 — 0.79.

мостях  $\epsilon_a(T)$  наблюдаются дополнительные аномалии. Ранее при этих температурах в  $TlInS_2$  наблюдались аномалии теплоемкости [8], оптических свойств [9, 10], а также коэффициентов теплового расширения [2] и поглощения продольных ультразвуковых волн [11]. Вид этих аномалий и их воспроизводимость при повторных циклах указывают, что они также соответствуют структурным фазовым переходам. На рис. 1 и в табл. 1, 2 они обозначены как фазовые переходы IV—V и V—VI.

Таблица 1  
Значение энергии активации проводимости ( $\Delta E_i$ )  
в различных фазах

Фаза	$\Delta E_i$ , эВ	Фаза	$\Delta E_i$ , эВ
I	$0.08 \pm 0.01$	IV	$0.27 \pm 0.01$
II	$0.21 \pm 0.01$	V	$0.27 \pm 0.01$
III	$0.27 \pm 0.01$	VI	$0.31 \pm 0.01$

Измерения спонтанной поляризации  $P_s$  по петлям диэлектрического гистерезиса не позволяли сделать определенный вывод о температуре, при которой возникает  $P_s$ , так как в окрестности фазовых переходов III—IV и IV—V индуцированная поляризация значительно превышала спонтанную. Более определенный вывод о природе этих фазовых переходов

<sup>1</sup> В действительности приведенные на рис. 1 температурные зависимости  $\epsilon_a(T)$  и на рис. 2 зависимости  $lg \epsilon_a(1000/T)$  являются квазизобарическими, так как при используемой в работе методике давление уменьшалось при понижении температуры камеры.

Таблица 2

Температуры фазовых переходов при  $p = p_0$  и их барические коэффициенты

Фазовый переход	$T_{m-n}$ , К	$dT_{m-n}/dp$ , К/ГПа
I — III, несоразмерный	213.5	58.8
III — IV, сегнетоэлектрический	201.5	51.1
IV — V, сегнетоэлектрический	198.0	48.9
V — VI, сегнетоэлектрический	192.0	41.3
I — II, структурный	-12.3	435

можно сделать, анализируя температурные зависимости мнимой части диэлектрической проницаемости  $\epsilon''$  или удельной проводимости  $\sigma$ . Удель-

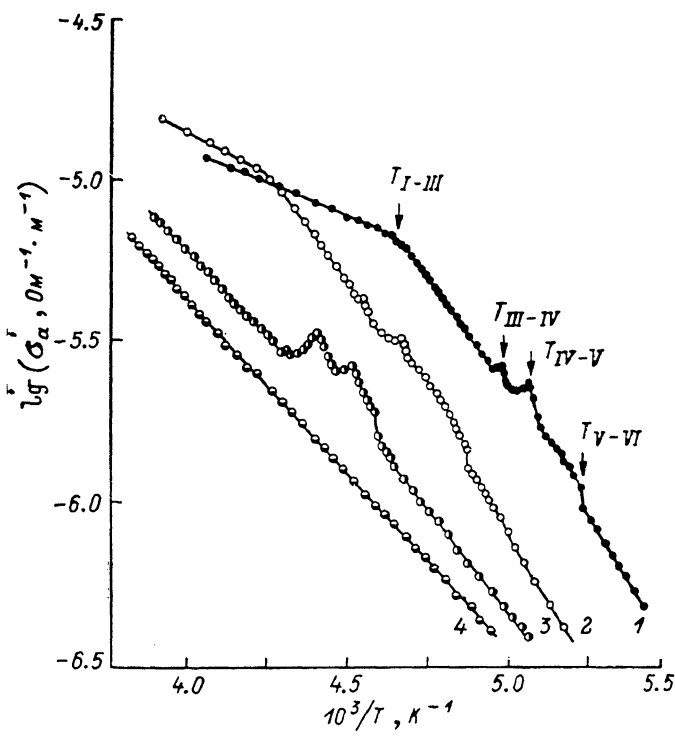


Рис. 2. Температурные квазизобарические зависимости удельной электропроводности  $\sigma_a$  TlInS<sub>2</sub> в аррениусовых координатах при различных начальных значениях давления.

$p$ , ГПа: 1 — 0, 2 — 0.5, 3 — 0.69, 4 — 0.79.

ная проводимость, измеряемая на переменном токе, как известно, определяется выражением

$$\sigma = \epsilon'' \epsilon_0 \omega + \sigma_p, \quad (1)$$

где  $\epsilon''$  — мнимая часть диэлектрической проницаемости, характеризующая диэлектрические потери;  $\epsilon_0$  — электрическая постоянная;  $\omega$  — частота внешнего поля;  $\sigma_p$  — сквозная удельная проводимость образца (в TlInS<sub>2</sub> тип проводимости — дырочный).

В окрестности сегнетоэлектрического фазового перехода второго рода диэлектрические потери и, следовательно,  $\epsilon''$  аномально возрастают, тогда

как при структурных фазовых переходах диэлектрические потери не изменяются, а изменяются только параметры, определяющие сквозную проводимость кристалла, в частности энергия активации  $\Delta E_i$ . Из рис. 2, на котором приведены измеренные на частоте 1 кГц при различных начальных давлениях зависимости  $\lg \sigma_a (10^3/T)$ , видно, что при несоразмерном фазовом переходе I—III температурная зависимость  $\sigma_a$ , построенная в аррениусовских координатах, испытывает излом. (Значения  $\Delta E_i$  в различных фазах приведены в табл. 1). С другой стороны, в окрестности фазовых переходов III—IV и IV—V удельная проводимость аномально возрастает, что позволяет интерпретировать их как сегнетоэлектрические

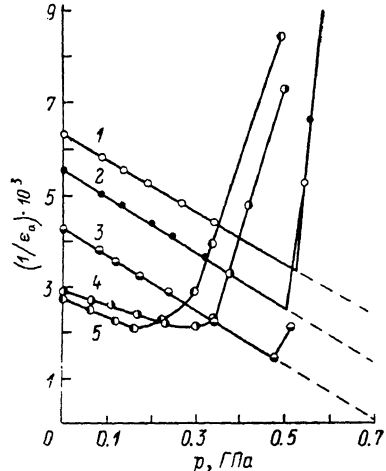


Рис. 3. Зависимости диэлектрической проницаемости  $\epsilon_a$  от давления в  $\text{TlInS}_2$  при различных температурах.

Т, К: 1 — 254.45, 2 — 242.88, 3 — 228.38, 4 — 214.41, 5 — 210.53

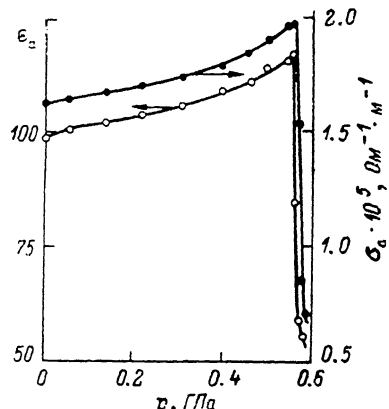


Рис. 4. Зависимости диэлектрической проницаемости  $\epsilon_a$  и удельной электропроводности  $\sigma_a$   $\text{TlInS}_2$  от давления при постоянной температуре  $T = 260$  К.

фазовые переходы. Следует также заметить, что энергия активации ( $\Delta E_i$ ) при этих фазовых переходах почти не изменяется (рис. 2). Фазовые переходы I—III, III—IV и IV—V являются фазовыми переходами второго рода, тогда как скачки  $\epsilon_a$  и  $\sigma_a$  при  $T = T_{\text{V-VI}}$  и незначительный температурный гистерезис ( $\sim 0.5^\circ$ ) указывают на первый род фазового перехода V—VI.

На других исследованных в данной работе образцах некоторые из отмеченных выше аномалий не наблюдались или, наоборот, появлялись дополнительные слабые аномалии  $\epsilon_a$  и  $\sigma_a$ . Эти различия, по-видимому, следуют связывать с политипией, присущей  $\text{TlInS}_2$  [5]. Поэтому для большей определенности в настоящей работе будут анализироваться результаты, относящиеся к первому из упоминавшихся выше образцов.

При повышении давления до  $p \leq 0.6$  ГПа вид аномалий  $\epsilon_a (T)$  и  $\sigma_a (T)$  качественно не изменяется (рис. 1, 2), а наблюдается только повышение температур фазовых переходов. Для количественного анализа полученных данных по влиянию давления на диэлектрические свойства  $\text{TlInS}_2$ , по экспериментальным массивам данных  $\epsilon_a (p, T)$  с учетом изменения давления в камере при понижении температуры были рассчитаны изобарические  $1/\epsilon_a (T)$  и изотермические  $1/\epsilon_a (p)$  (рис. 3) зависимости. При  $p \leq 0.6$  ГПа и в интервалах температур  $T - T_{\text{I-III}} \leq 40^\circ$  и  $T_{\text{III-IV}} - T \leq 8^\circ$  эти зависимости хорошо аппроксимируются законами Кюри—Вейсса

$$\epsilon = \frac{C^\pm}{T - T_0^\pm (p)}, \quad p = \text{const}, \quad (2)$$

$$\epsilon = \frac{C_p^\pm}{p - p_0^\pm (T)}, \quad T = \text{const}, \quad (3)$$

где  $C^x$  и  $C_p^{\pm}$  — константы Кюри для изобарических и изотермических зависимостей диэлектрической проницаемости в I — паразелектрической ( $C^+$ ) и V — сегнетоэлектрической ( $C^-$ ) фазах;  $T_0^{\pm}(p)$  и  $p_0^{\pm}(T)$  — температуры Кюри—Вейсса и давления, полученные экстраполяцией соответствующих зависимостей к значениям  $1/\epsilon_a=0$  (рис. 3).

Константы  $C$  и  $C_p$  не зависят от давления и температуры в пределах погрешности и имеют следующие значения:  $C^+=(1.23 \pm 0.05) \cdot 10^4$  К;  $C^-=(2.2 \pm 0.1) \cdot 10^3$  К;  $C_p^+=(1.7 \pm 0.1) \cdot 10^2$  ГПа;  $C_p^- = 33 \pm 1$  ГПа.

При давлениях  $p \geq 0.6$  ГПа наблюдается резкое уменьшение диэлектрической проницаемости и удельной проводимости  $\text{TiInS}_2$  (рис. 4), указывающие на наличие еще одного фазового перехода I-II — это переход первого рода, близкий ко второму. Гистерезис по давлению не превышает 0.01 ГПа. При понижении температуры диэлектрическая проницаемость и удельная проводимость в фазе II монотонно уменьшаются (кривые 4, рис. 1, 2). Увеличение проводимости с давлением в фазе I и ее уменьшение при повышении давления в фазе II коррелируют с изменением знака барического коэффициента ширины запрещенной зоны при этом фазовом переходе, обнаруженным в [6].

**Фазовая  $P-T$ -диаграмма.** На рис. 5 показана фазовая  $P-T$ -диаграмма  $\text{TiInS}_2$ , построенная на основе зависимостей  $\epsilon_a(T, p)$ ,  $\sigma_a(T, p)$  (рис. 1—4). При повышении давления температуры фазовых переходов I-III, III-IV, IV-V, V-VI линейно повышаются. Значения барических коэффициентов  $dT_{m-n}/dp$  приведены в табл. 2. Как видно, эти значения монотонно уменьшаются при понижении  $T_{m-n}$ , независимо от того, является фазовый переход несоразмерным или сегнетоэлектрическим.

В отличие от остальных фаз фаза II стабильна только при давлениях  $p \geq 0.5$  ГПа, так как фазовые переходы I-II, III-II, IV-II, V-II и VI-II характеризуются очень большими положительными барическими коэффициентами (табл. 2 и рис. 5). Линии этих фазовых переходов пересекаются с линиями несоразмерного и сегнетоэлектрических фазовых переходов в тройных точках. Однако в данной работе точно определить координаты удалось только для тройной точки, в которой находятся в равновесии фазы I, II, III:  $p=0.53$  ГПа,  $T=245$  К.

### 3. Обсуждение результатов

Наличие в кристаллах  $\text{TiInS}_2$  мягкой оптической моды релаксационного типа [1] и значения констант Кюри указывают, что с точки зрения микроскопической теории [12] фазовые переходы в  $\text{TiInS}_2$  являются «собственными» переходами «порядок—беспорядок». Этот вывод не противоречит результатам, полученным в настоящей работе. Действительно, в этом случае термодинамический потенциал без учета инвариантов, описывающих несоразмерную фазу, можно записать в виде

$$\Phi = \frac{1}{2} 4\pi \left( \frac{T - T_0}{C} + QP \right) P^2 + \frac{1}{4} \beta P^4 - PE, \quad (4)$$

где  $Q$  — константа электрострикции;  $\beta$  — коэффициент, не зависящий от  $p$  и  $T$ ;  $E$  — внешнее поле;  $T_0$  — температура Кюри—Вейсса при  $p=p_0$ .

Тогда из (4) легко получить формулы (2) и (3), причем  $T_0(p)$  и  $p_0(T)$  будут определяться через коэффициенты термодинамического потенциала (4).

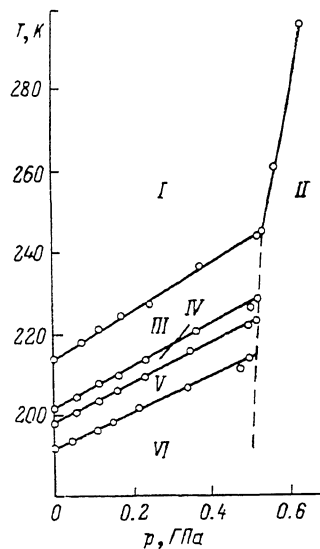


Рис. 5. Фазовая  $P-T$ -диаграмма  $\text{TiInS}_2$ .

$$T_u(p) = T_u + QCP, \quad (5)$$

$$\rho_u(T) = -\frac{T - T_u}{QC}. \quad (6)$$

Соотношение между константами  $C$  и  $C_p$  имеет вид

$$\frac{C_p}{C} = \frac{dT_u}{dp}. \quad (7)$$

Принимая во внимание, что  $dT_u/dp$  в пределах погрешности эксперимента совпадает с  $dT_{III-IV}/dp$ , по соотношению (7) и константам  $C^+$  и  $C^-$  можно рассчитать значения  $C_p^+$  и  $C_p^-$ . Такой расчет дает значения  $C_p^+ = 2.4 \cdot 10^3$  ГПа и  $C_p^- = 43$  ГПа, которые хорошо согласуются с экспериментальными значениями  $C_p^+ = 2.2 \cdot 10^3$  ГПа и  $C_p^- = 33$  ГПа.

С другой стороны, так как, согласно [2], несоразмерная фаза характеризуется волновым вектором  $\mathbf{k}_c = (\delta, \delta, 0.25)$ , то при переходе в соразмерную сегнетоэлектрическую fazу объем ячейки в направлении оси  $c$  должен участвовать, т. е. сегнетоэлектрический fazовый переход должен быть несобственным. Кроме того, для «собственного» сегнетоэлектрика с fazовым переходом «порядок—беспорядок» должно выполняться соотношение [12]

$$C = \frac{4n P_{SH}^2 V}{k}, \quad (8)$$

где  $P_{SH}$  — насыщенное значение спонтанной поляризации,  $V$  — объем элементарной ячейки,  $n$  — число сегнетоактивных ионов по ячейке,  $k$  — постоянная Больцмана.

В исследованных образцах  $TlInS_2$   $P_{SH}$  не превышала  $0.35$  мкКл/см $^2$ . Подставляя эти значения в (8), получим значение  $C$ , которое на два-три порядка меньше экспериментальных значений  $C^+$ . Этот факт свидетельствует в пользу «несобственного» сегнетоэлектрического перехода III—IV в  $TlInS_2$ . Таким образом, имеющиеся экспериментальные данные не позволяют сделать однозначный вывод о природе несоразмерного и сегнетоэлектрического fazовых переходов. Отчасти это связано с тем, что в настоящей и более ранних работах не учитывалась политиция, которая, как известно, обнаруживает определенное сходство с несоразмерными fazами.

Авторы благодарят А. М. Широкова за методическую помощь при проведении экспериментов.

#### Л и т е р а т у р а

- [1] Волков А. А., Гончаров Ю. Г., Козлов Г. В., Аллахвердиев К. Р., Сардарлы Р. М. ФТТ, 1983, т. 25, № 12, с. 3583—3585.
- [2] Вахрушев С. Б., Жданова В. В., Квятковский Б. Е. и др. Письма в ЖЭТФ, 1984, т. 39, № 6, с. 245—247.
- [3] Алиев Р. А., Аллахвердиев К. Р., Баранов А. И., Иванов И. Р., Сардарлы Р. М. ФТТ, 1984, т. 26, № 5, с. 1271—1276.
- [4] Аллахвердиев К. Р., Бабаев С. С., Бахышов Н. А., Мамедов Т. Г. ФТТ, 1985, т. 27, № 12, с. 3699—3701.
- [5] Muller D., Poltmann F. E., Hahn H. Z. Naturforsch., 1974, vol. 29b, N 2, p. 117—118.
- [6] Аллахвердиев К. Р., Бабаев С. С., Бахышов Н. А. и др. ФТП, 1984, т. 18, № 9, с. 1704—1706.
- [7] Широков А. М., Баранов А. И., Шувалов Л. А. Изв. АН СССР, сер. физич., 1971, т. 35, № 9, с. 1903—1907.
- [8] Mamedov K. K., Abdullaev A. M., Kerimova E. M. Phys. St. Sol. (a), 1986, vol. 94, N 1, p. 115—119.
- [9] Аллахвердиев К. Р., Бахышов Н. А., Мамедов Т. Г., Наджафов А. И. ФТТ, 1986, т. 28, № 7, с. 2243—2246.
- [10] Аллахвердиев К. Р., Бабаев С. С., Бахышов Н. А., Мамедов Т. Г., Салаев Э. Ю. ФТП, 1984, т. 18, № 7, с. 1307—1309.
- [11] Беляев А. Д., Гололобов Ю. П., Аллахвердиев К. Р., Мамедов Т. Г., Шарифов Я. Н. Тезисы докладов XI Всесоюзной конференции по физике сегнетоэлектриков. Киев, 1986, т. 2, с. 45.
- [12] Вакс В. Г. Введение в микроскопическую теорию сегнетоэлектричества. М.: Наука, 1973. 327 с.